

유도결합 $\text{Cl}_2/\text{CF}_4/\text{Ar}$ 플라즈마를 이용한 CeO_2 박막 식각후 표면반응

이병기 · 김남훈 · 장윤성 · 김경섭* · 김창일 · 장의구

중앙대학교 전자전기공학부, *여주대학 전자학과

Surface Reactions after the Etching of CeO_2 Thin Films using Inductively Coupled $\text{Cl}_2/\text{CF}_4/\text{Ar}$ Plasmas

Byeong-Ki Lee, Nam-Hoon Kim, Yun-Seong Chang, Kyoung-Seob Kim*,
Chang-II Kim and Eui-Goo Chang

School of Electrical and Electronic Engineering, Chung-Ang University, Seoul 156-756, Korea

*Department of Electronics Engineering, Yeojo Institute of Technology, Yeojo 469-705, Korea

초 록: 본 연구에서는 ICP 식각장비에서 700 W의 RF 전력과 -200 volt의 dc 바이어스 전압 및 15 mTorr의 반응로 압력에서 Ar/CF₄ 혼합가스에 Cl₂ 가스를 첨가하면서 CeO₂ 박막을 식각하였다. 최대식각 속도는 10%의 Cl₂ 가스를 첨가하였을 시에 250 Å/min 이었고, 이 조건에서 SBT에 대한 식각 선택비는 0.4이었다. XPS를 이용하여 식각된 CeO₂ 박막의 표면반응을 검토하였다. Ce 피크는 대부분 CeO₂ 또는 Ce₂O₃ 형태로 Ce-O 결합상태임을 관찰할 수 있었다. 대부분의 Cl 피크는 CeCl_x 또는 Ce_xO_yCl_z 형태로 Ce 원자와 결합하고 있었다.

Abstract: In this study, CeO₂ thin films were etched with an addition of Cl₂ gas to Ar/CF₄ gas mixing in an inductively coupled plasma (ICP) etcher by the etching parameter such as RF power of 700 W, chamber pressure of 15 mTorr and dc bias voltage of -200 volts. The etch rate of CeO₂ films was 250 Å /min with an addition of 10% Cl₂ gas to Ar/CF₄ gas mixture and the selectivity to SBT film was 0.4 at that condition. The surface reactions of the etched CeO₂ thin films were investigated by X-ray photoelectron spectroscopy (XPS). It was analyzed that Ce peaks were mainly observed in Ce-O bonds formed CeO₂ or Ce₂O₃ compounds. Cl peaks were detected by the peaks of Cl 2p_{3/2} and Cl 2p_{1/2}. Almost all of Cl atoms were combined with Ce atoms like CeCl_x or Ce_xO_yCl_z compounds.

Keywords: CeO₂, Plasma Etching, XPS (X-ray Photoelectron Spectroscopy)

1. 서 론

최근 휴대형 전자기기들은 소형화와 고성능화로 나아가는 추세이므로, 이러한 전자기기에 사용될 IC의 내장 메모리 또한 집적화 및 고속화, 저전력화가 이루어져야 한다. 현재 이러한 내장 메모리로써 강유전체 메모리(FRAM: ferroelectric random access memory)가 주목을 받고 있다.¹⁾ 특히, 게이트 절연막으로 강유전체를 이용한 NDRO(non-destructive)-FRAM은 분극반전에 의한 피로현상이 없고, 별도의 커퍼시터가 필요없는 간단한 구조(1T)이므로 집적도

를 향상시킬 수 있을 뿐만 아니라 radiation hardness가 우수하여 소자의 신뢰도를 향상시킬 수 있다.²⁾ 이러한 NDRO-FRAM을 구현하기 위한 구조로 금속-강유전체-반도체 전계효과 트랜지스터(MFS-FET)가 개발 진행중에 있지만, MFS-FET 구조에서는 실리콘 위에 강유전체 박막을 직접 증착시키는 것이 매우 어렵고, 실리콘과 강유전체 박막의 계면에서 계면 준위의 밀도가 높다는 문제점이 보고되었다.³⁾ 따라서, 이를 해결하기 위해서 강유전체 박막과 실리콘 사이에 완충층을 삽입하는 MFIS-FET (metal ferroelectric insulator semiconductor FET) 구조에 새롭게 관심이

증폭되고 있다. 강유전체/실리콘 기판사이 계면특성을 개선시키는 완충층의 조건으로는 실리콘과의 격자 상수가 비슷하여야 하며, 누설전류가 낮아야 하고, 유전 상수가 높아야 한다. 이러한 조건을 충족시키는 완충층으로는 CeO_2 , Y_2O_3 및 MgO 등이 보고되고 있다.⁴⁾ 특히, CeO_2 박막은 유전상수(26)가 상대적으로 높고 격자 상수(5.41 \AA)가 실리콘(5.43 \AA)과 거의 비슷하며, 화학적으로 안정한 구조를 가지고 있고 고온에서 안정적이다.⁵⁾ 따라서, CeO_2 박막은 MFIS 구조를 가지는 FRAM 소자에 적용을 위한 완충층으로 가장 적합하다고 판단된다. 현재 CeO_2 박막의 형성에 관한 연구는 비교적 활발히 진행되어져 실용화하는 단계에 이르렀으나, FRAM 소자를 접하는 화시키기 위해 필수적인 CeO_2 박막의 식각과 관련된 기술의 연구는 거의 이루어지지 않고 있다. 본 논문에서는 CeO_2 박막을 고밀도 유도결합 플라즈마(ICP: inductively coupled plasma) 식각장비에서 $\text{Ar}/\text{CF}_4/\text{Cl}_2$ 가스를 이용하여 식각한 후, XPS (X-ray photoelectron spectroscopy) 표면분석을 활용하여 CeO_2 박막의 식각 반응 기구를 검토해 보고자 한다.

2. 실험방법

본 논문에 사용된 기판은 보론이 도핑된 $0.85\text{--}1.15 \Omega\text{-cm}$ 의 비저항을 갖는 (100) 방향의 p형 실리콘 웨이퍼이고, 세척 및 자연 산화막 제거를 위하여 RF 스퍼터링 증착전에 1:10의 $\text{HF:H}_2\text{O}$ 용액에서 화학적으로 식각하였다. CeO_2 박막은 산소 분위기에서 Ce target(순도=99.99%)을 사용하여 RF 스퍼터링 방법으로 실리콘 기판 위에 증착시켰다. RF 스퍼터링 시스템은 4인치의 마그네트론 스퍼터링 소스를 장착하였으며, 스퍼터링 소스와 기판사이의 거리는 약 6 cm이다. RF 전력과 반응로 압력은 각각 100 W와 5 mTorr로 고정시켰다. 기판은 접지 하였으며 기판 온도는 가스 전도 가열(gas conduction heating) 방식을 사용하여 실온(27°C)으로 고정시켰다. 산소 분압비는 $\text{O}_2(20)/\text{Ar}(80)$ 로 고정시켰다. CeO_2 박막 증착 후에 전기적인 특성을 개선하기 위하여 산소 분위기에서 30분 동안 800°C 에서 열처리를 수행하였다. CeO_2 박막의 증착 속도는 약 11 \AA/min 이었으며, 증착된 CeO_2 박막의 두께는 약 1000 \AA 이었다. CeO_2 박막의 두께는 RBS를 이용하여 측정하였다. 이와 같이 준비된 CeO_2 박막의 플라즈마 식각은 유도결합 플라즈마(ICP) 장비를 이용하여 수행되었다. 식각 가스는 80% $\text{Ar}/20\%\text{CF}_4$ 가스 조건에 혼합조건 0%에서 30%까지

Cl_2 를 변화하면서 식각하였다. 식각 메커니즘을 규명하기 위해서 VG Microtech사의 XPS (ESCA 200)를 이용하여, 식각 후 CeO_2 박막 표면의 화학결합 상태를 분석하였다. 이때 사용된 XPS 장비는 250 W의 Al $\text{K}\alpha(1486.6 \text{ eV})$ 방사를 사용하였다.

3. 실험결과 및 검토

CeO_2 박막은 ICP 식각장비에서 RF 전력을 700 W, DC 바이어스 전압은 -200V , 반응로 압력은 15 mTorr, 총 가스 유량은 30 sccm, 기판 온도는 30°C 로 고정하고, $\text{Ar}/(\text{Ar}+\text{CF}_4)$ 가스 혼합비 0.8에서 0%에서 30%까지 Cl_2 가스를 첨가하여 식각하였다. Fig. 1은 $\text{Ar}/(\text{Ar}+\text{CF}_4)$ 가 0.8인 가스 혼합비에 Cl_2 가스를 첨가함에 따라 CeO_2 박막의 식각속도와 MFIS 구조에서 CeO_2 박막의 상부 강유전체 물질로 유력한 $\text{SrBi}_2\text{-Ta}_2\text{O}_9$ (SBT) 및 전극 물질로 사용되어지는 백금(platinum)에 대한 식각 선택비를 나타낸 것이다. 그럼에서와 같이 CeO_2 박막의 식각속도는 Cl_2 가스가 10% 첨가되었을 때까지는 상승하다가, Cl_2 가스 첨가량이 10%를 초과하게 되면 식각속도의 감소가 나타난다. CeO_2 박막의 최고 식각속도는 Cl_2 가스가 10% 첨가된 조건에서 250 \AA/min 이고, CeO_2 의 최고 식각속도를 얻는 조건에서 SBT에 대한 식각 선택비는 0.4이다. 전체적으로 식각 선택비가 0.5 이하로 매우 낮음을 확인할 수 있다. 이러한 식각 선택비는 MFIS-FET 구조의 FRAM 식각공정 적용에 어려움이 있을 것으로 판단

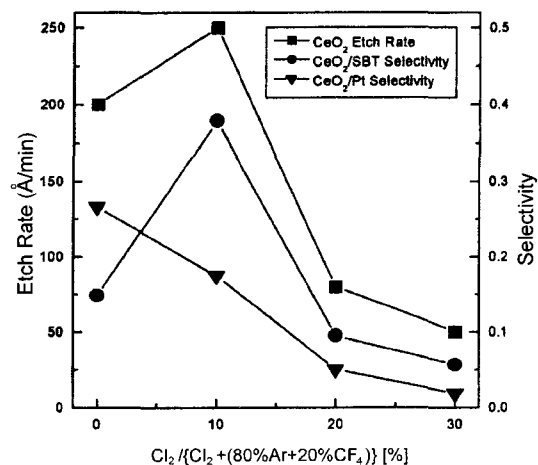


Fig. 1. The etch rate of CeO_2 film and selectivities to SBT, Pt thin films as adding Cl_2 gas to Ar/CF_4 gas mixture.

된다. 따라서, 식각 선택비의 향상이 요구되어지며 이를 위해서는 식각시 화학적인 반응을 향상시켜야 할 것이다.

Fig. 1과 같은 식각속도 변화의 원인을 검토해 보기 위해서 XPS wide scan을 수행하여 식각된 CeO_2 박막의 표면에 존재하는 원소들의 변화를 알아보았다.⁶⁾ Fig. 2는 (a) CeO_2 박막의 증착직후, (b) 80% Ar/20% CF_4 가스로의 식각후, (c) Ar/CF_4 혼합가스에 10% Cl_2 가스를 첨가하여 식각한 후의 CeO_2 박막 표면의 XPS wide scan 스펙트럼을 나타낸 것이다. 시료에서 검출되는 O 원소는 시료 표면에 존재하는 F 혹은 Cl과 원소 등과의 결합은 극히 어렵다. 이는 F 혹은 Cl 원소의 electronegativity가 커서 O와 반응 화합물을 형성하기 어렵기 때문이다. Fig. 2(c)에서 Cl 원소가 미량만이 검출되는 것은 Ce와 Cl의 표면반응이 극히 어렵거나, 식각 반응 화합물 CeCl_3 가 비교적 증기압이 높아 시료의 표면에서 쉽게 이탈된 결과로 해석할 수 있다. 한편 F 원소의 경우 Ce-F 결합이 반응성은 좋지만, 식각 반응 화합물인 CeF_3 혹은 CeF_4 가 증기압이 대단히 낮기 때문에 표면에서 쉽게 이탈하지 못하여 XPS 표면 분석결과 상당량의 원소가 검출된 것으로 예상된다.⁷⁾

Cl_2 가스 첨가에 따른 식각된 CeO_2 박막의 시료 표면에서 검출되는 원소들의 intensity 변화 원인을 조사하기 위하여 각 원소의 XPS narrow scan 스펙트럼 분석을 수행하였다. Fig. 3은 Ar/CF_4 가스 베이스에 Cl_2 가스 첨가에 따른 식각된 CeO_2 박막의 표면에서 검출되는 Ce 3d 스펙트럼의 변화를 나타낸 것이다. Fig. 3(a)는 CeO_2 박막 증착직후에 실시한 XPS

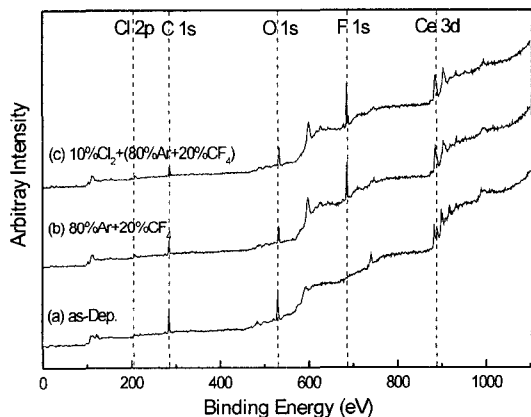


Fig. 2. XPS wide scan spectra for CeO_2 surface: (a) as-Dep., (b) etched with 80%Ar/20% CF_4 gases and (c) etched with an addition of 10% Cl_2 gas.

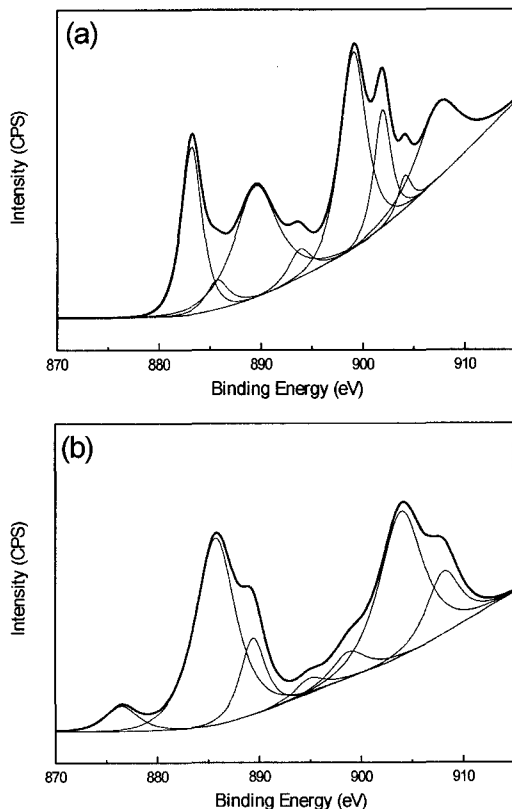


Fig. 3. The change of XPS narrow scan spectra for Ce 3d peaks on CeO_2 surface: (a) as-Dep., and (b) etched with an addition of 10% Cl_2 gas to 80%Ar/20% CF_4 gas mixture.

스펙트럼이고, (b)는 80%Ar/20% CF_4 가스에 10% Cl_2 가스를 첨가하여 식각한 후의 CeO_2 박막 표면에서의 XPS 스펙트럼이다. Fig. 3(a)에서 $\text{Ce}_{3d_{5/2}}-\text{O}$ 결합이 883.2 eV, 889.5 eV 및 899.0 eV에서 검출되었고, $\text{Ce}_{3d_{3/2}}-\text{O}$ 결합은 901.9 eV와 907.5 eV에서 검출되었다. 하지만, Ar/CF_4 혼합 가스에 Cl_2 가스를 첨가하여 식각한 이후의 XPS 분석 결과인 Fig. 3(b)에서는 899.0 eV 근처의 피크가 크게 감소함을 볼 수 있다. 이는 CeO_2 박막 표면에서 산소량의 감소와 관련이 있는데, F와 Cl 원소의 일부가 Ce와 결합되어 있을 것으로 예상되지만 그 원소량이 극히 적어 뚜렷한 흔적을 발견할 수 없는 것으로 여겨진다. 한편 883 eV, 901.9 eV에서 검출되었던 피크들은 각각 885.7 eV, 903.9 eV로 이동하였음을 확인할 수 있는데, 이는 O보다 electronegative한 원소들과의 결합이 있었음을 의미한다. 이러한 결합들을 형성할 것으로 예상되어지는 원소들은 F 및 Cl이다. 따라서, 미량의

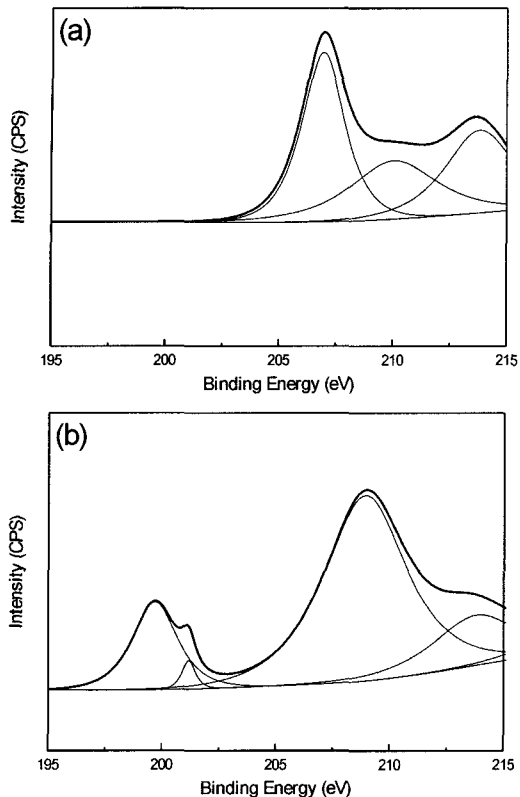


Fig. 4. The change of XPS narrow scan spectra for Cl 2p peaks on CeO₂ surface: (a) as-Dep, and (b) etched with an addition of 10%Cl₂ gas to 80%Ar/20%CF₄ gas mixture.

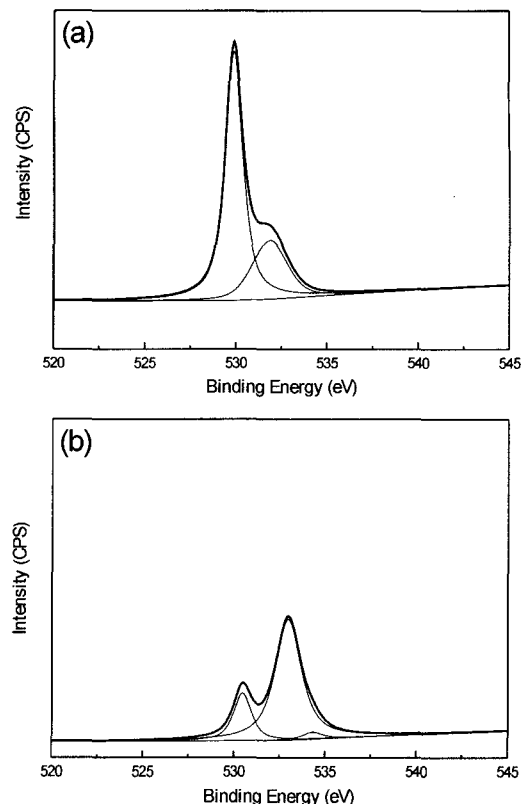


Fig. 5. The change of XPS narrow scan spectra for O 1s peaks on CeO₂ surface: (a) as-Dep, and (b) etched with an addition of 10%Cl₂ gas to 80%Ar/20%CF₄ gas mixture.

CeCl_x 및 CeF_y 등의 결합이 존재하는 것으로 판단된다.

Fig. 4는 박막증착 직후 및 Ar/CF₄ 가스에 Cl₂가스를 첨가하여 식각한 후의 CeO₂ 박막의 표면에서 검출된 Cl 2p narrow scan 스펙트럼의 변화이다. Fig. 4(b)에서와 같이 199.6 eV와 201.1 eV에서 피크가 검출됨을 확인할 수 있다. 이는 각각 CeCl_x 화합물에 의한 Cl-Ce 결합에서 검출되는 Cl 2p_{3/2}와 Cl 2p_{1/2} 피크로 판단된다. 이것은 대부분의 Cl은 Ce와 결합되어 있음을 보여주는 것이다. 한편 XPS에서 검출되는 Cl 2p_{3/2}와 Cl 2p_{1/2} 피크의 세기 비는 2:1이다.

Fig. 5는 박막증착 직후 및 Ar/CF₄ 가스에 Cl₂가스를 10% 첨가하여 식각한 후의 CeO₂ 박막 표면에서 검출된 O 1s narrow scan 스펙트럼 변화를 나타낸 것이다. Fig. 5(a)에서 볼 수 있는 바와 같이 산소는 531.8 eV에서 전형적인 피크가 검출되었다. 한편 529.8 eV에서도 피크가 검출됨을 확인할 수 있는데,

이는 전형적인 O-metal 결합에 의한 피크이다. 따라서, 대부분의 산소는 금속 즉 Ce와 결합되어 있음을 알 수 있다. Fig. 5(b)에서는 534.3 eV에서 적은 피크가 존재함이 deconvolution 결과 확인되었다. 또, 529.8 eV 및 531.8 eV에서 검출되었던 피크들은 각각 530.5 eV 및 532.9 eV로 이동하였음을 확인할 수 있다. 이는 산소보다 더욱 electronegative한 원소와의 결합을 의미한다. 이러한 결합을 형성할 것으로 예상되는 원소는 Cl 및 F이다. 따라서, 미량의 Ce_xO_yCl_z 및 Ce_xO_yF_z 등의 결합이 존재하는 것으로 판단된다.

4. 결 론

본 연구에서는 MFIS-FET 구조의 FRAM 구현을 위한 완충층으로서의 CeO₂ 박막의 식각에 있어서, Ar/CF₄ 혼합가스에 Cl₂ 가스를 첨가함에 따른 식각 특성 및 표면 반응을 조사하였다. Cl₂ 가스를 첨가함

에 따른 식각 특성을 추출한 결과 Cl₂ 가스가 10%까지 증가할 때 250 Å/min에 도달한 후 점점 감소함을 알 수 있었다. 또, XPS 분석결과 Ce의 경우에는 대부분 CeO₂ 혹은 Ce₂O₃ 화합물의 Ce-O 결합에 의한 피크가 검출되었으며, 일부는 F 및 Cl 원소와 결합되어 있는 것으로 예상되나 F 및 Cl의 원소량이 매우 적어 뚜렷한 흔적을 발견할 수는 없었다. Cl의 경우에는 199.6 eV와 201.1 eV에서 피크가 검출되었으며, 이는 CeCl_x 화합물에 의한 Cl-Ce 결합에서 검출되는 피크로 판단된다. 즉, 대부분의 Cl은 Ce와 결합되어 있음을 확인시켜 주는 것이다.

참고문헌

- 황광명, 이창우, 김성일, 김용태, 권영석, 심선일, “SrBi₂Ta₂O₉ 박막에 있어서 Ar/Cl₂ 가스의 비율 및 RF/DC Power Density의 변화에 따른 수직 식각의 특성연구”, 마이크로전자 및 패키징학회지, 제8권, 제3호, 49(2001).
- 유인경, “FRAM 개발 동향 및 신개념 FRAM”, 전자공학회지, 제25권, 제7호, 669(1998).
- H. W. Song, C. S. Lee, D. G. Kim and K. S. No, “Characterization of CeO₂ Thin Films as Insulator of Metal Ferroelectric Insulator Semiconductor (MFIS) Structure”, Thin Solid Films, 368, 61(2000).
- W. J. Lee, C. H. Shin, C. R. Cho, J. S. Lyu, B. W. Kim, B. G. Yu and K. I. Cho, “Electrical Properties of SrBi₂Ta₂O₉/Insulator/Si Structures with Various Insulators”, Jpn. J. Appl. Phys., 38(1), 2039 (1999).
- T. Yamada, N. Wakiya, K. Shinozaki and N. Mizutani, “Effect of Electric Property of Epitaxial CeO₂/Yttria-Stabilized Zirconia Buffer Layer in Metal/Ferroelectric/Insulator/Semiconductor Structure”, Jpn. J. Appl. Phys., 40(1), 281(2001).
- 김상훈, 주섭열, 안진호, “Pt 박막의 SF₆/Ar과 플라즈마 가스와의 표면반응에 관한 연구”, 마이크로전자 및 패키징학회지, 제8권, 제3호, 63(2001).
- David R. Lide, CRC HANDBOOK of CHEMISTRY and PHYSICS, 76th ED., CRC PRESS, Boca Ranton (1996).